

# 高等电力网络分析第一次作业

## 1、节点导纳矩阵、节点阻抗矩阵的计算与分析

(1) 基于 IEEE 14 节点系统生成节点不定导纳矩阵  $Y_0$ ，思考 case14 程序中何处体现了地节点？以地为参考节点生成节点导纳矩阵  $Y$ 。

①在返回的 mpc 结构体中，可以在 bus（母线矩阵）的第二/三列找到 bus 的并联电导 Gs 和并联电纳 Bs，这体现了节点和地之间的联系。此外，在 branch(支路)的第五列给出了线路的电纳，可见是采用  $\pi$  型等值电路，也可以体现地节点。

```
%% bus data
% bus_i type Pd Qd Gs Bs area Vm Va baseKV zone
mpc.bus = [
1 3 0 0 0 1 1.06 0 0 1 1.06 0.94;
2 2 21.7 12.7 0 0 1 1.045 -4.98 0 1 1.06 0.94;
3 2 94.2 19 0 0 1 1.01 -12.72 0 1 1.06 0.94;
4 1 47.8 -3.9 0 0 1 1.019 -10.33 0 1 1.06 0.94;

% Branch Data Format
% 1 f, from bus number
% 2 t, to bus number
% (-) (circuit identifier)
% 3 r, resistance (p.u.)
% 4 x, reactance (p.u.)
% 5 b, total line charging susceptance (p.u.)
% 6 rateA, MVA rating A (long term rating), set to 0 for unlimited
% 7 rateB, MVA rating B (short term rating), set to 0 for unlimited
```

②生成节点不定导纳矩阵  $Y_0$  : (main\_1\_1.m)

分为以下几步：初始化为  $Y_0 = \text{zeros}(n+1, m)$  ( $n, m$  分别为母线、支路数)

a. 对于所有支路：将支路的电纳  $b/2$  添加到 branch 的 from 和 to 母线和地节点( $n+1$ )之间；将支路的导纳  $1/(r + jx)$  添加到利用 branch 的 from 和 to 母线之间；对于有变比的支路，添加支路导纳修正关联矩阵；对于自带接地支路的节点，还要添加接地支路。

利用公式  $Y_0 = Y_0 + M y_b M^T$  将上述支路逐一添加，形成  $Y_0$ 。（具体见源码）

得到节点不定导纳矩阵  $Y_0$ （前 3\*3 元素）如下：

```
Y0 =

列 1 至 3

6.0250 -19.3961i -4.9991 +15.2631i 0.0000 + 0.0000i
-4.9991 +15.2631i 9.5213 -30.2423i -1.1350 + 4.7819i
0.0000 + 0.0000i -1.1350 + 4.7819i 3.1210 - 9.8379i
```

③以地为参考节点生成节点导纳矩阵  $Y$ ：在上面得到的不定导纳矩阵  $Y_0$  中划去第  $n+1$  行第  $n+1$  列即可得到节点导纳矩阵  $Y$ 。

(2) 用 matpower 中 makeYbus 程序生成节点导纳矩阵，验证 (1) 中节点导纳矩阵  $Y$  的正确性，思考并总结 makeYbus 程序的编程技巧。

使用命令  $Y - \text{makeYbus}(\text{mpc})$  发现差在  $1.0\text{e-}14$  量级，因此验证了此前的计算结果。

```
>> norm(Y - Y_makeYbus, 1)

ans =

7.3241e-15
```

### makeYbus()编程技巧总结:

1、用字母代替具体编号，这样方便索引和修改

```
%% define named indices into bus, branch matrices
[PQ, PV, REF, NONE, BUS_I, BUS_TYPE, PD, QD, GS, BS, BUS_AREA, VM, ...
 VA, BASE_KV, ZONE, VMAX, VMIN, LAM_P, LAM_Q, MU_VMAX, MU_VMIN] = idx_bus;
```

2、赋值采用矩阵整行整列索引，避免使用 for 语句

```
stat = branch(:, BR_STATUS);          %% ones at in-service branches
Ys = stat ./ (branch(:, BR_R) + 1j * branch(:, BR_X)); %% series admittance
Bc = stat .* branch(:, BR_B);          %% line charging susceptance
```

3、使用中间变量，增加代码可读性

```
%% bus indices
f = branch(:, F_BUS);          %% list of "from" buses
t = branch(:, T_BUS);          %% list of "to" buses
```

(3) 采用支路追加法生成节点阻抗矩阵  $Z$ 。(main\_1\_2.m)

先手动添加第一条线路，然后分为树支和连支添加剩下的支路。最后添加母线的接地导纳。所求出  $Z$  矩阵与 (2) 中求得的  $\text{inv}(Y)$  的差别 ( $\text{e-}13$  量级) 验证了其正确性。

```
Z =

列 1 至 3

0.0162 - 2.2442i  0.0049 - 2.2811i  -0.0010 - 2.3052i
0.0049 - 2.2811i  0.0094 - 2.2684i  0.0018 - 2.2978i
-0.0010 - 2.3052i  0.0018 - 2.2978i  0.0270 - 2.2158i

>> norm(inv(Y) - Z, 1)

ans =

3.9280e-13
```

## 2、网络矩阵的稀疏技术

(1) 对 IEEE 14 节点系统的节点导纳矩阵  $Y$  进行 LDU 分解，生成对应的因子表。

(main\_2.m line 5; factorize.m)

首先，用 MATLAB 自带的 lu()函数直接分解得到 L1, D1, U1; 自己写程序 factorize(), 采用常规方法函数进行因子分解，得到 L2, D2, U2.乘起来与  $Y$  比较验证：

<code>norm(L1 * D1 * U1 - Y, 1)</code>	<code>norm(L2 * D2 * U2 - Y, 1)</code>
<code>ans =</code>	<code>ans =</code>
<code>1.3692e-14</code>	<code>9.7279e-15</code>

(2) 采用 Tinney-2 编号方法、Tinney-3 编号方法对 IEEE 14 节点系统重新编号并重新进行 LDU 分解，与原始编号下的 LDU 分解进行对比，探讨 3 种编号方法的优劣。(main\_2.m line 19; TinneyTwo.m; TinneyThree.m)

编写函数 TinneyTwo()和 TinneyThree()两个函数分别用于重新编号。采用 MATLAB 的 tic/toc 函数对重新编号过程（包括编号后排序）、编号后 LDU 分解过程进行计时。每个过程运行 1000 次，得到时间花费如下：

编号方式	编号过程时间(s)	LDU 分解过程(s)	Y 矩阵非零元个数
原始编号	-	5.12	56
Tinney-2	0.34	2.46	38
Tinney-3	0.45	2.32	38

分析：①可以看到对 14 节点而言，采用 Tinney-3 和 Tinney-2 编号方法后 LDU 分解过程花费的时间大约只有原始编号的 50%左右， $Y$  矩阵的非零元个数都从 56 个减少到了 38 个。

②Tinney-3 方法比 Tinney-2 方法更能减少 LDU 分解的时间花费，但减少的比例（6%）并不大，而同时 Tinney-3 方法所需要的编号时间大约比 Tinney-2 编号方法多 30%。本例中两者用于编号和 LDU 分解的总时间花费差别不大。

③ 两种优化编号过程花费的时间都远小于随后 LDU 分解中节约的时间。可以合理归纳，当节点数目较大时，花费较小的时间优化编号可以明显降低花费的总时间。而且 Tinney-3 方法和 Tinney-2 方法的效果相差不大。因此，仅仅在 LDU 分解本身需要花费很长时间，或者编号一次后可以保持很久的场景下需要 Tinney-3 方法。

(3) 基于 LDU 分解的结果，采用连续回代法重新生成节点阻抗矩阵  $Z$ ，并与之前的结果对比以验证正确性。(main\_2.m line 62; lud2Z.m)

编写 lud2Z() 函数用于从 LDU 矩阵生成  $Z$  矩阵；将程序得到的  $Z$  矩阵与直接对  $Y$  矩阵求逆的结果对比（如下），两者相差在  $1e-13$  量级，验证了连续回代法生成节点阻抗矩阵  $Z$  的正确性。

```
>> norm(inv(Y) - Z, 1)

ans =

5.7827e-13
```

### 3、网络矩阵的修正解法

(1) 在节点 5 与节点 8 之间添加一条  $r$ 、 $x$ 、 $b$  参数（标么值）分别为 0.016、0.058、0.162 的支路，分别采用面向支路、面向节点修正的补偿法计算修正后的节点导纳矩阵  $Y'$ ，探讨 2 种修正算法的区别。(main\_3.m)

$$\left[ \begin{array}{cc|c} 1 & 1 & \\ -1 & 1 & \end{array} \right] \left[ \begin{array}{c} \Delta y \\ \Delta y_c \\ \Delta y_c \end{array} \right] \left[ \begin{array}{cc} 1 & -1 \\ 1 & \\ & 1 \end{array} \right] \quad \text{v.s.} \quad \begin{array}{c} i \\ j \end{array} \left[ \begin{array}{c|c} 1 & \\ & 1 \end{array} \right] \left[ \begin{array}{cc} \Delta y + y_c & -\Delta y \\ -\Delta y & \Delta y + y_c \end{array} \right] \left[ \begin{array}{cc} 1 & \\ & 1 \end{array} \right]$$

区别：①修正复杂度不同：采用面向支路时，需要添加三条支路：(5, n+1), (8, n+1), (5, 8)，需要对  $Y$  修正三次；采用面向节点的方法，只需要考虑两个节点，而对  $Y$  只进行一次修正，在程序中更为清晰。

②特殊情况下可能网络发生的变化不是对称的，关联矢量也不是互为转置的，因此使用面向节点的方法更具一般性。

③在因子表的秩 1 修正中，每次加入等效为一个支路，因此使用面向支路的方法与因子表的修正的对应性更强。

(2) 在 (1) 的基础上，再在节点 11 与节点 12 之间添加一条  $r$ 、 $x$ 、 $b$  参数（标么值）分别为 0.012、0.085、0.158 的支路，分别采用因子表的秩 1 修正算法、因子表的局部再分解算法计算新因子表，探讨 2 种修正算法的计算效率和适用场景。

(main\_3.m line 42; rankOne.m; rankOneAdd.m)

①编写 rankOne() 函数，使用迭代的方法进行因子分解表的秩 1 修正；迭代的终止条件为  $D$  矩阵维度为  $1 \times 1$ ，此时直接对  $D$  进行修正即可。

②对于局部再分解 (main\_3.m line 69) 方法，直接用代码实现。将上述两种方法得到的新的 LDU 矩阵相乘结果分别与修正后的  $Y$  矩阵进行比较，差别在  $e-14$  量级，验证了两种方法的正确性。

```
>> main_3
秩 1 修正误差: 1.1255e-14
局部再分解误差: 1.1137e-14
```

(3) 根据 (2) 中的新因子表, 计算添加两条支路后的节点导纳矩阵  $Y''$  和节点阻抗矩阵  $Z''$ 。使用  $Y'$ 、 $Y''$ 、 $Z''$  验证矩阵求逆辅助定理的正确性, 并尝试解释  $c$  的物理意义。(main\_3 line 85)

①利用 (2) 中的新因子表, 直接将 LDU 相乘即可得到节点导纳矩阵  $Y''$ ; 用此前写的 ldu2Z 可以利用 LDU 矩阵生成  $Z''$ 。可以与追加法生成的节点导纳矩阵  $Y_2$  比较, 验证 LDU 分解的正确性。

```
>> norm(L * D * U - Y2, 1)

ans =

1.1137e-14
```

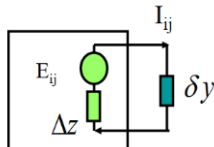
②利用  $Y'$  的逆矩阵  $Z'$ , 采用支路追加法添加 (11, 12), (11, n+1), (12, n+1) 三条支路, 即可生成  $Z''$ 。将  $Z''$  与 (2) 中生成的  $Z$  矩阵相比, 验证矩阵求逆辅助定理的正确性。

```
>> norm(Z - Z_new, 1)

ans =

5.0019e-14
```

③  $c$  的物理意义:



矩阵求逆辅助定理 ( $\tilde{\mathbf{A}} = \mathbf{A} + \mathbf{M}\mathbf{a}\mathbf{N}^T, c = (\mathbf{a}^{-1} + \mathbf{N}^T \mathbf{A}^{-1} \mathbf{M})^{-1} \Rightarrow \tilde{\mathbf{A}}^{-1} = \mathbf{A}^{-1} - \mathbf{A}^{-1} \mathbf{M} c \mathbf{N}^T \mathbf{A}^{-1}$ )

用导纳发生编号的两个节点组成的端口的戴维南等效电路进行分析, 可以发现  $c$  刚好是这个回路中的等效阻抗。

$$c^{-1} = \delta y^{-1} + \mathbf{M}^T \mathbf{Y}^{-1} \mathbf{M} = \delta y^{-1} + \Delta z$$

在矩阵求逆定理中,  $c$  和等效电动势 (假设注入电流均为 1) 相乘即得到回路电路, 这部分电流添加到端口上就可以对原有的各节点的电压进行修正, 所得到的新的节点电压的物理意义就是新的阻抗矩阵。这样, 就对原有的阻抗矩阵进行了修正。

回路电流  $\dot{I}_{ij} = c \dot{E}_{ij} = c \mathbf{M}^T \mathbf{Y}^{-1} \dot{\mathbf{I}}$

补偿电流  $\Delta \dot{\mathbf{I}} = -\mathbf{M} \dot{I}_{ij} = -\mathbf{M} c \mathbf{M}^T \mathbf{Y}^{-1} \dot{\mathbf{I}}$

补偿后总注入电流  $\dot{\mathbf{I}} = \dot{\mathbf{I}} + \Delta \dot{\mathbf{I}} \Rightarrow \dot{\mathbf{V}} = \mathbf{Y}^{-1} \dot{\mathbf{I}}$